

Fig.II-4-1-15 2D Analysis section of resistivity (MJTK-IP-7)

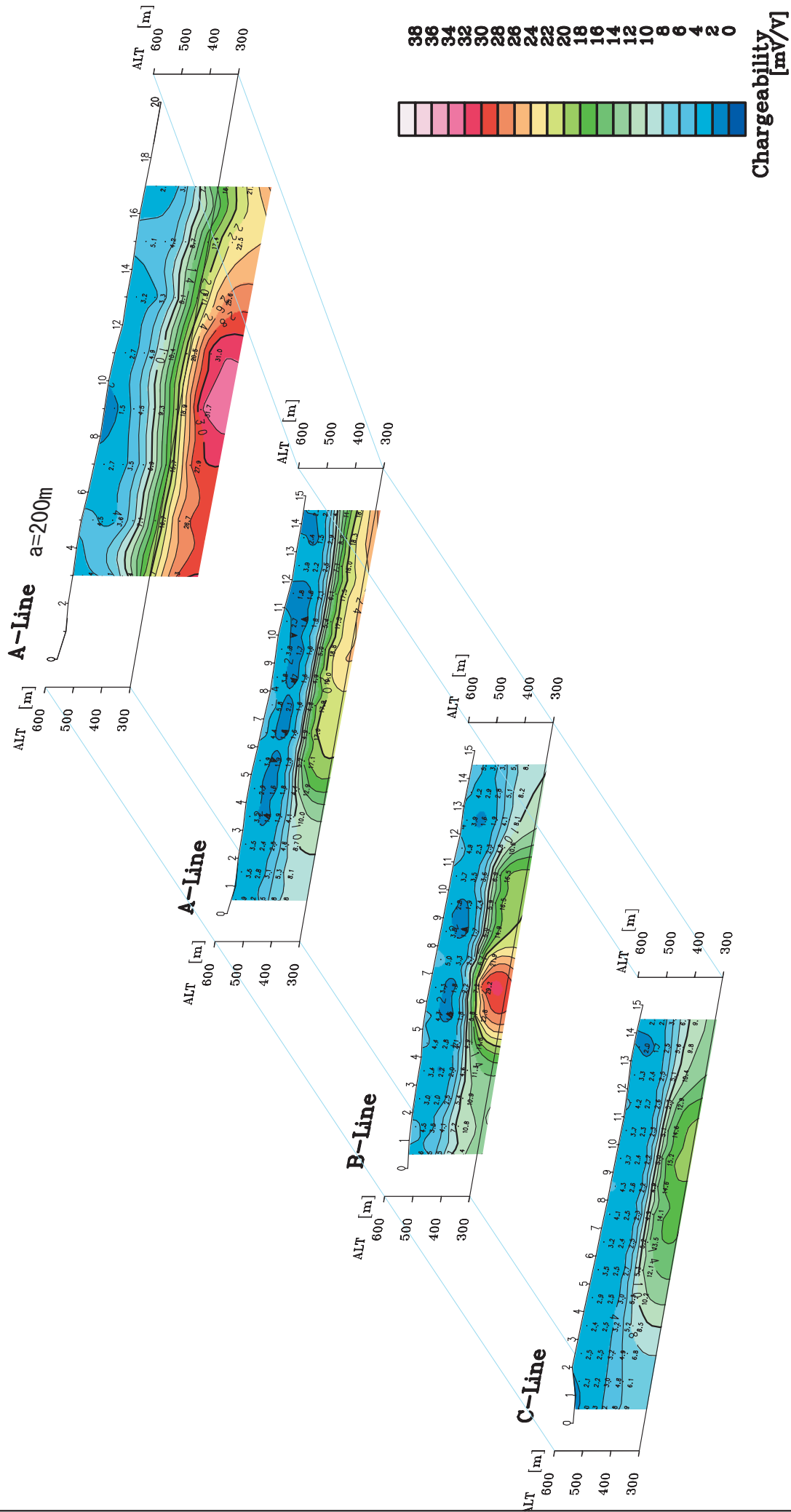


Fig. II -4-1-16 2D Analysis section of chargeability (MJTK-IP-7)

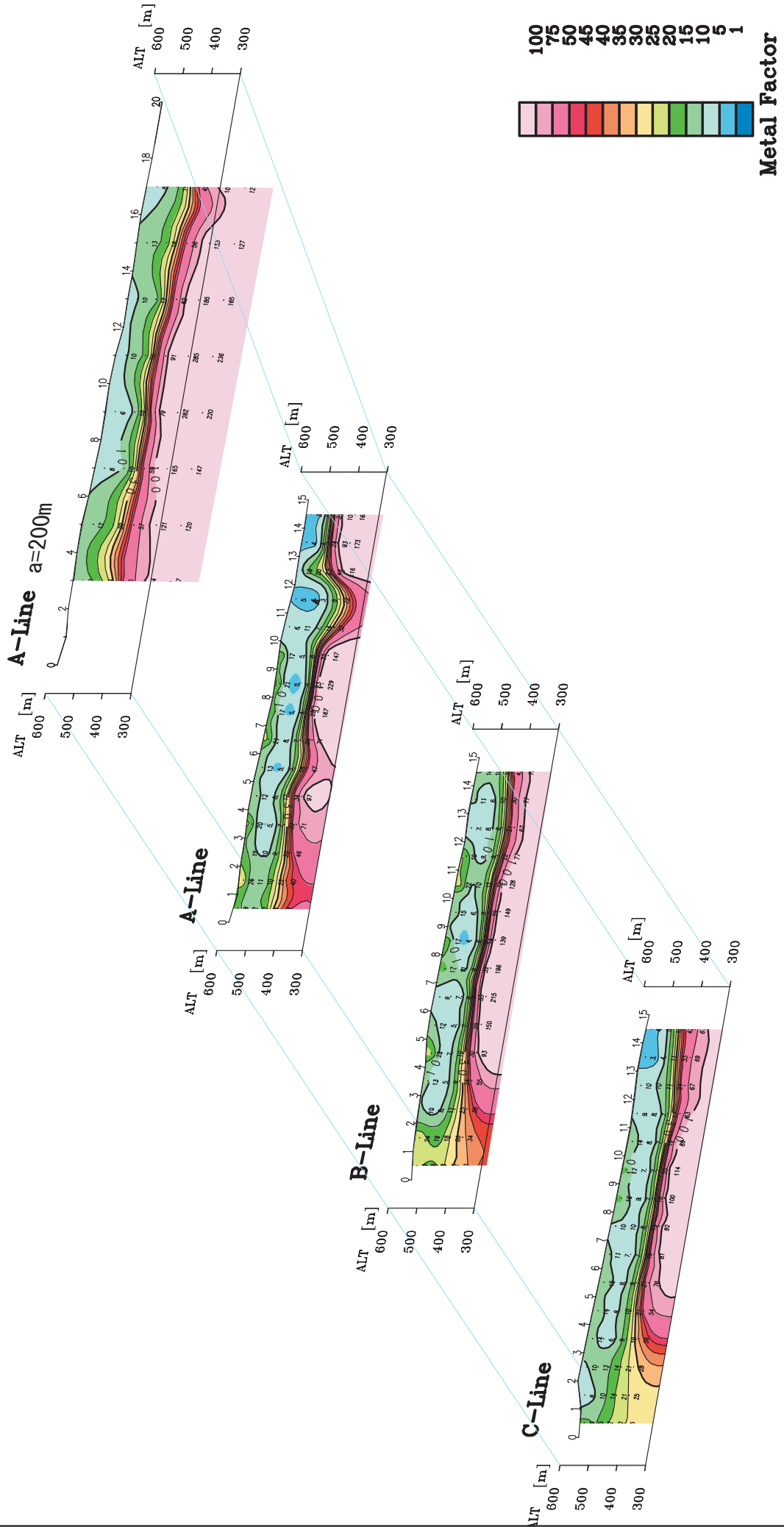
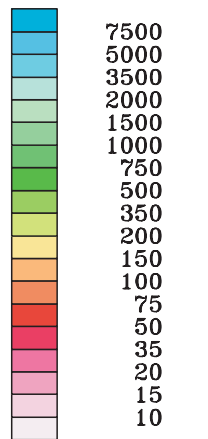
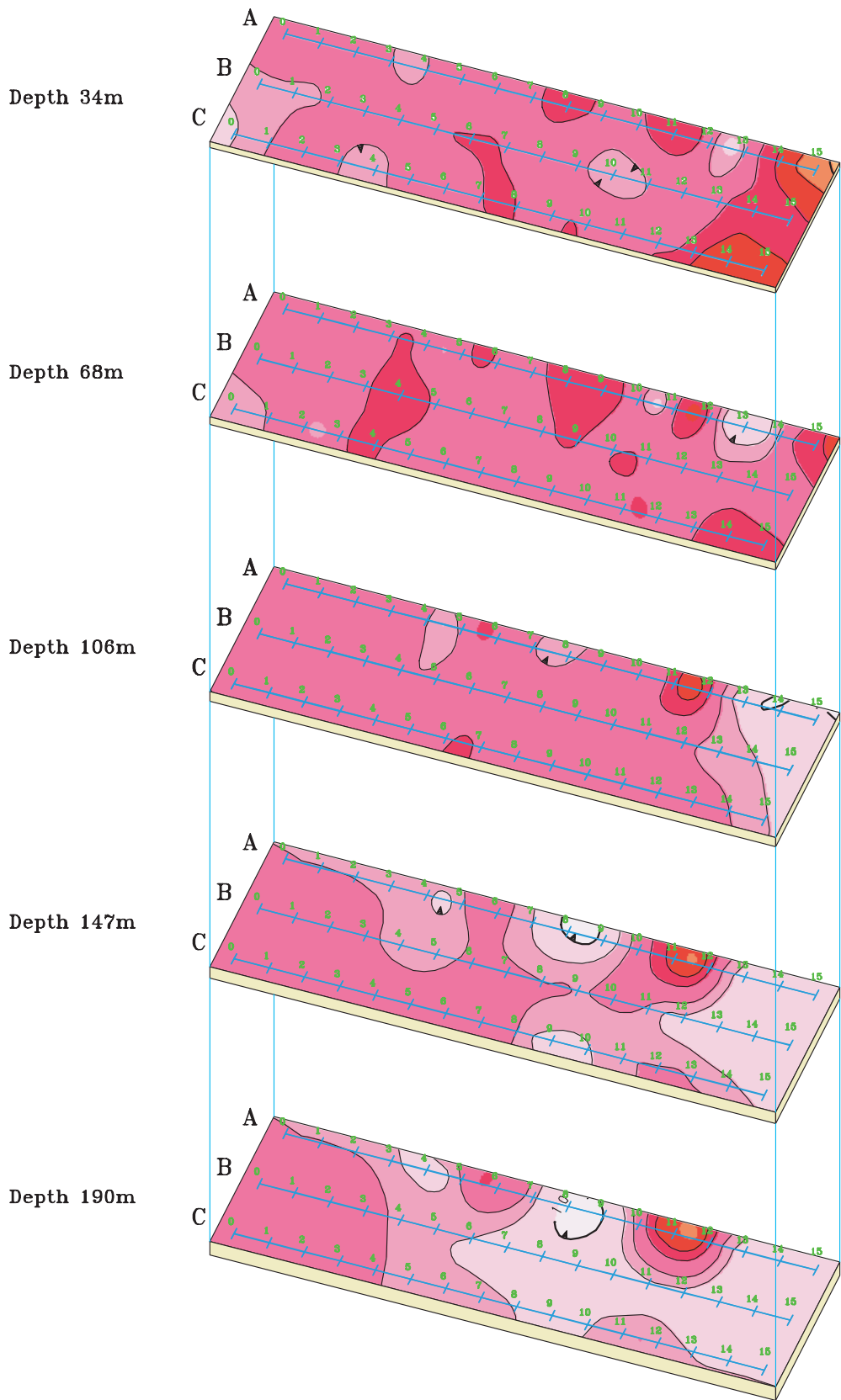


Fig.II-4-1-17 2D Analysis section of metal factor (MJTK-IP-7)



Resistivity [Ohm-m]

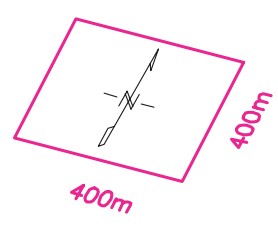


Fig.II-4-1-18 2D Analysis plane map of resistivity (MJTK-IP-7)

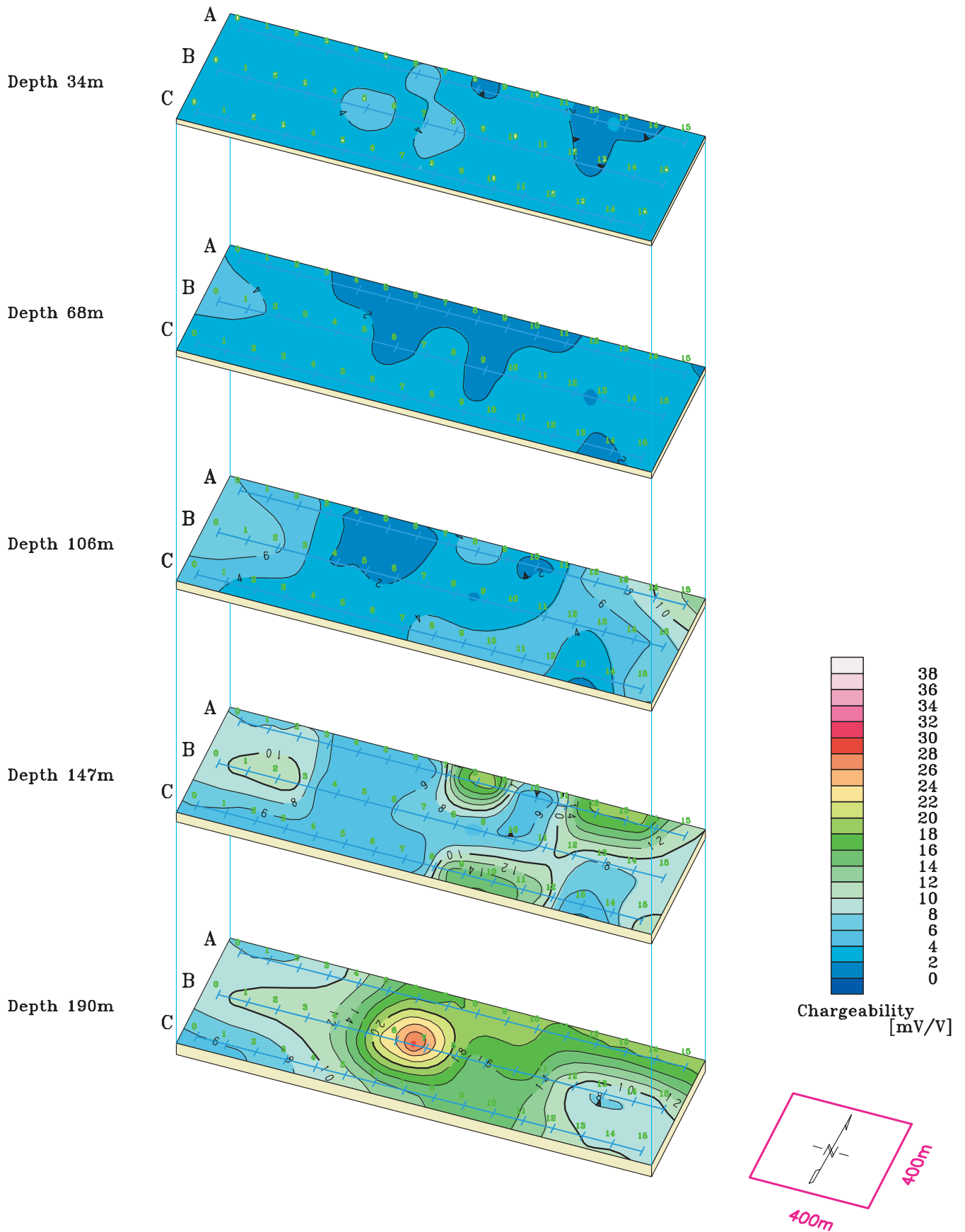


Fig.II-4-1-19 2D Analysis plane map of chargeability (MJTK-IP-7)

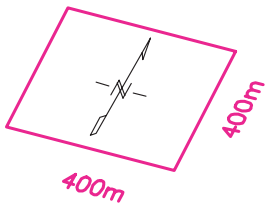
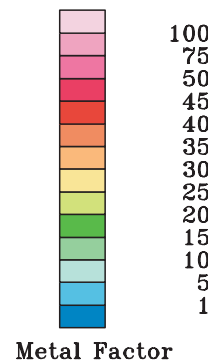
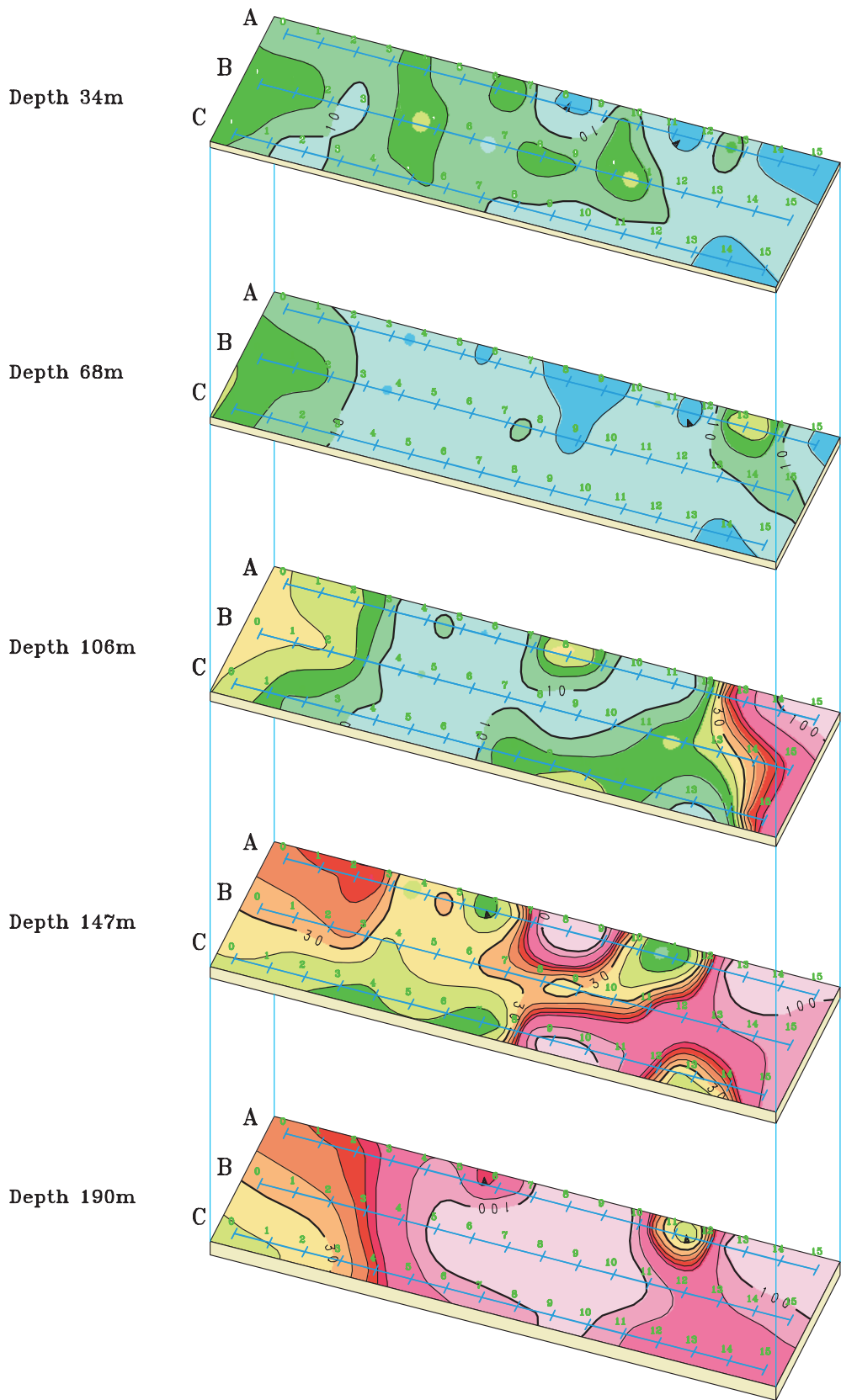


Fig.II-4-1-20 2D Analysis plane map of metal factor (MJTK-IP-7)

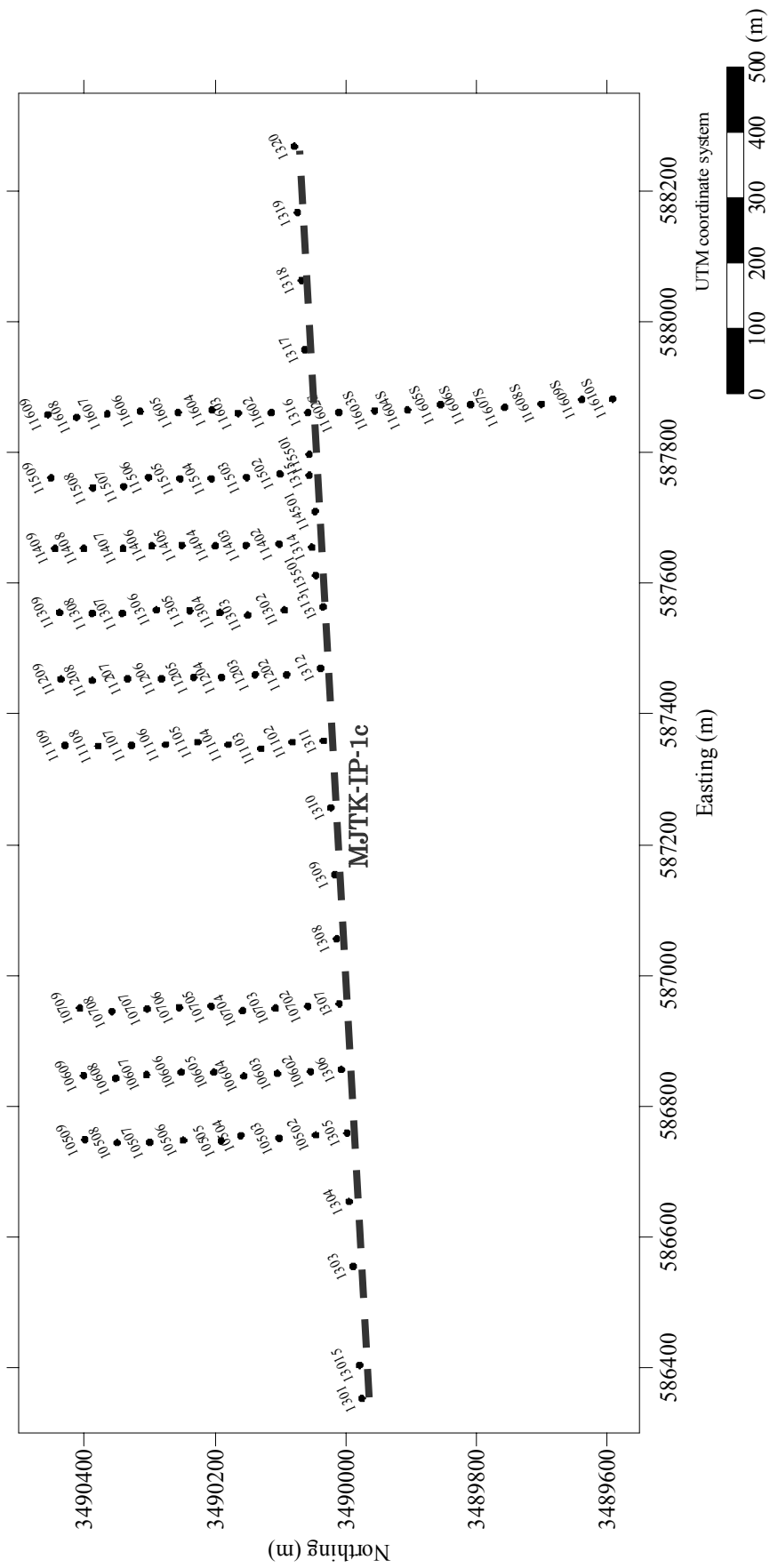


Fig. II-4-1-21 Observed points of TEM method at MJTK-IP-1 area

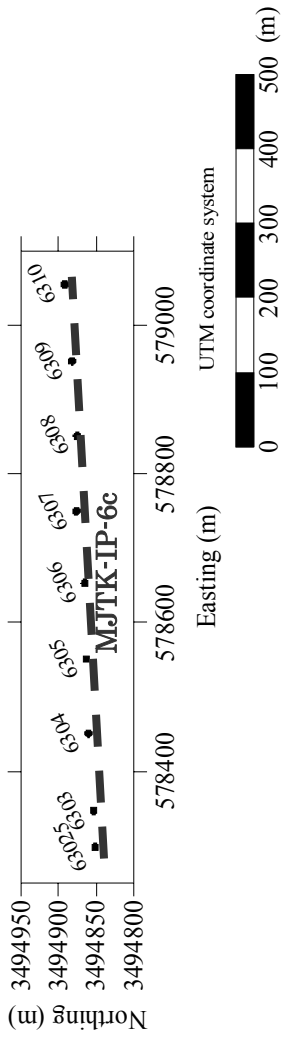


Fig. II -4-1-22 Observed points of TEM method at MJTK-IP-6

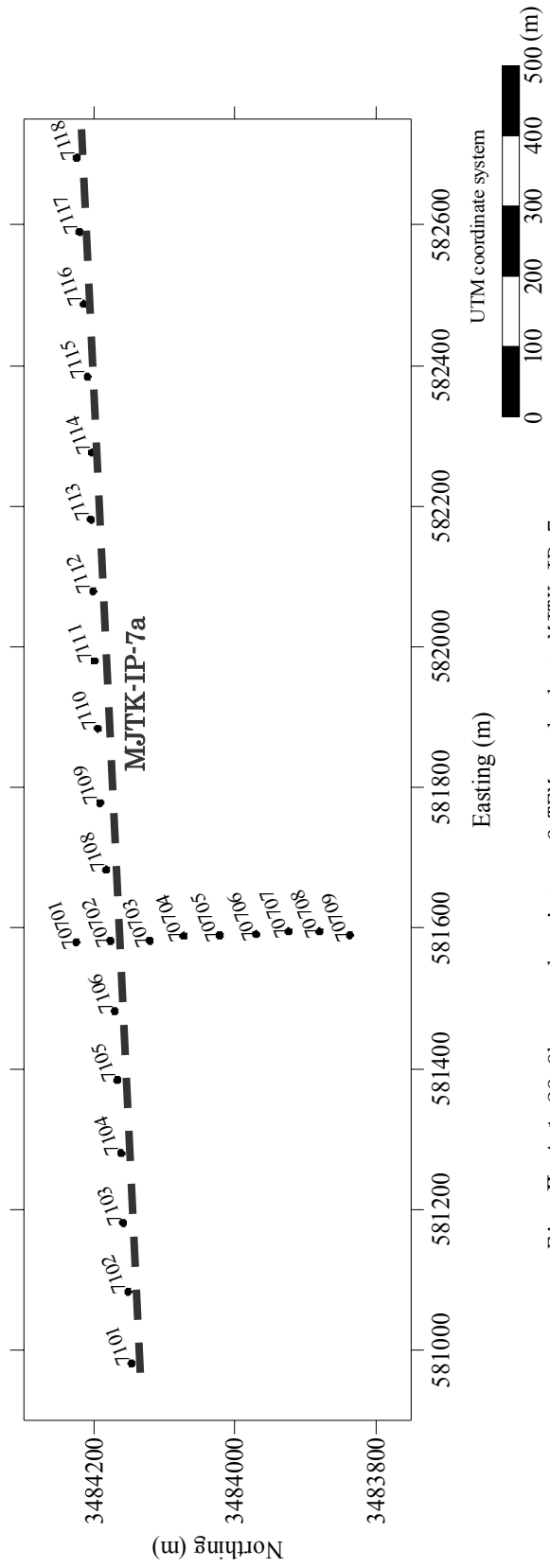


Fig. II -4-1-23 Observed points of TEM method at MJTK-IP-7 area

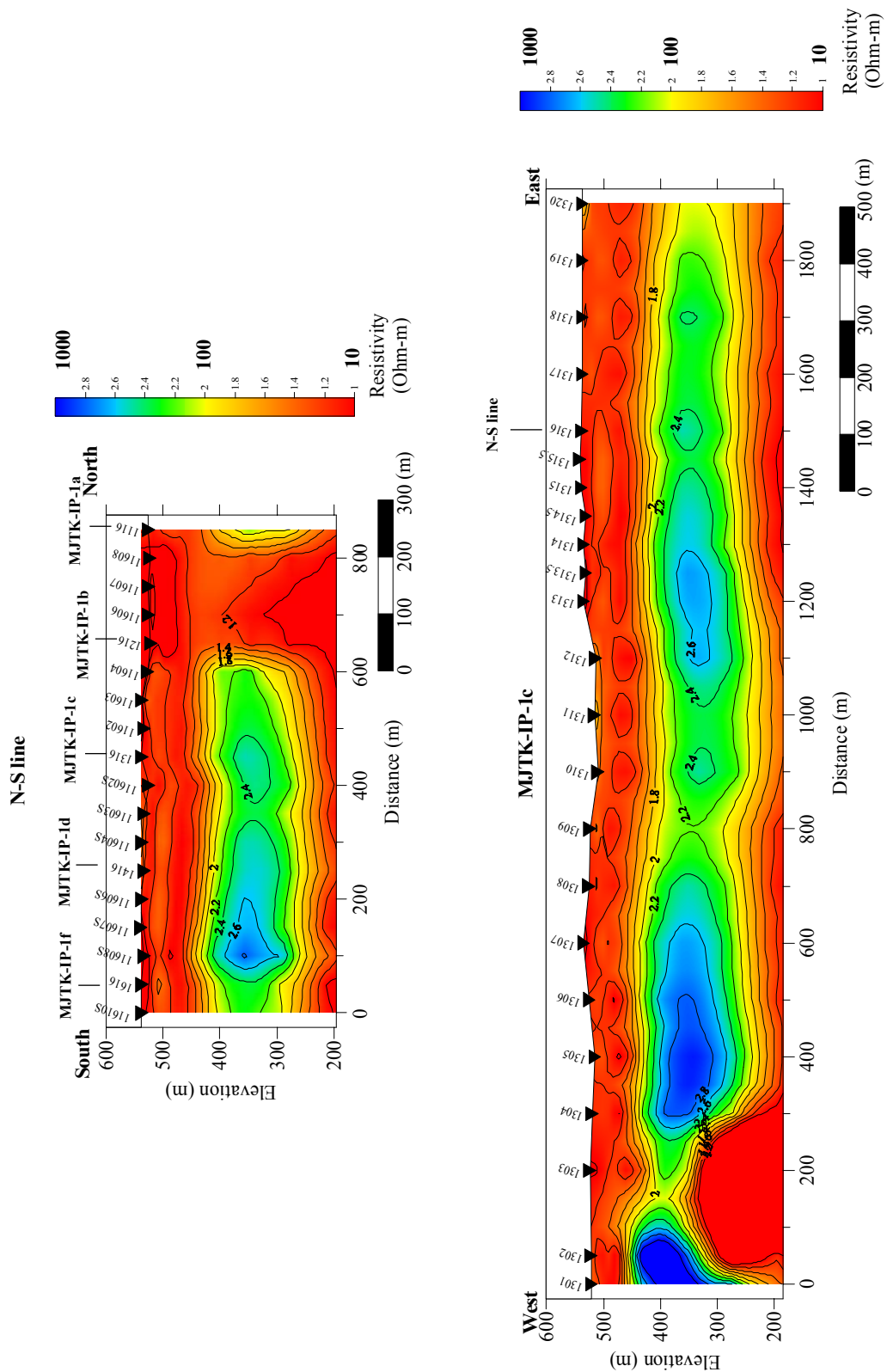


Fig. II-4-1-24 Resistivity structure cross sections at MJTK-IP-1 area
 Upper part is along the N-S direction line and lower part is along the E-W direction line MJTK-IP-1c. Each section is crossing at station 1316.

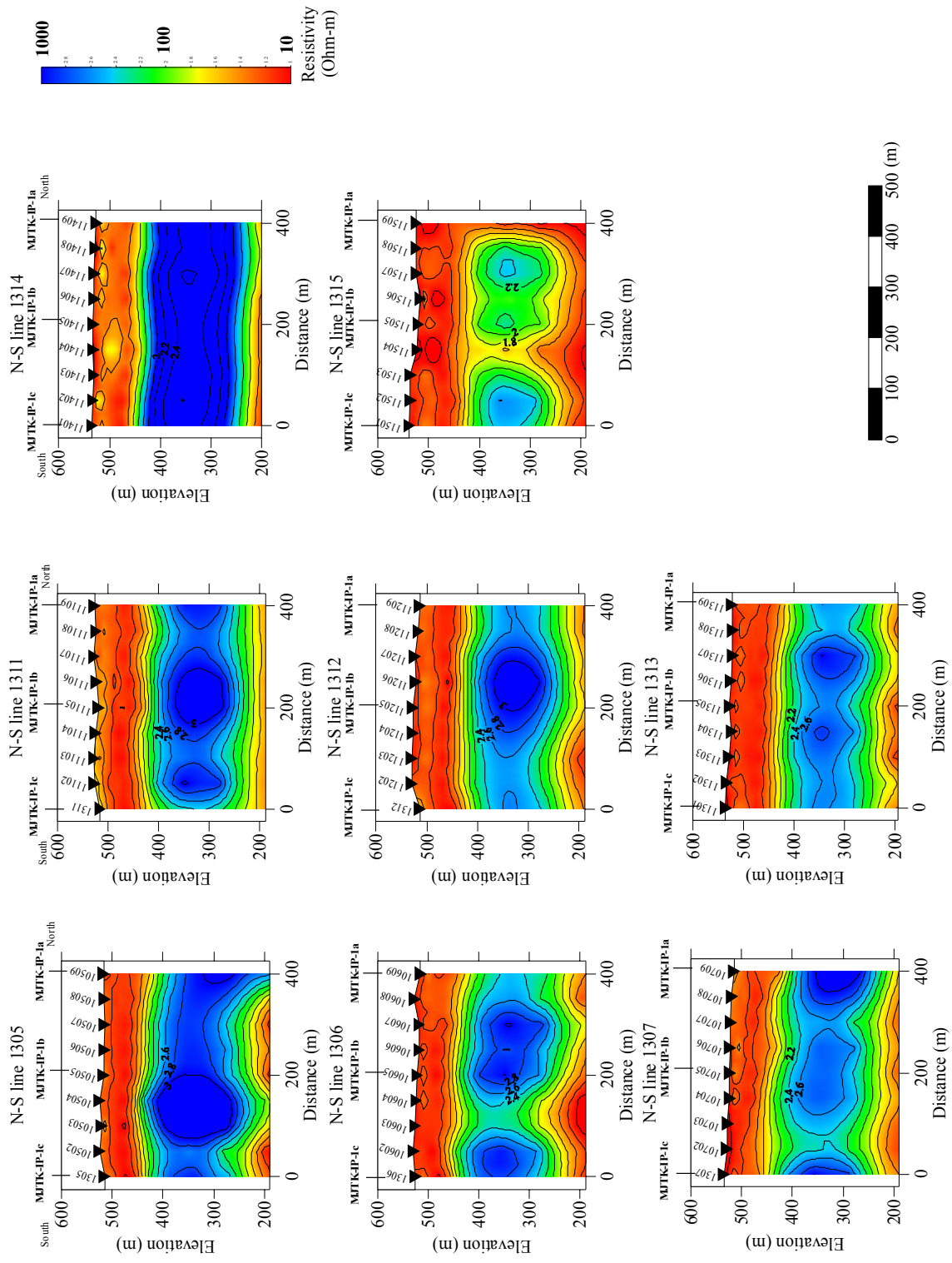


Fig. II-4-1-25 Resistivity structure cross sections along the N-S direction line at MJTK-IP-1 area
 Each sections are crossing at line MJTK-IP-1a, MJTK-IP-1b and MJTK-IP-1c.

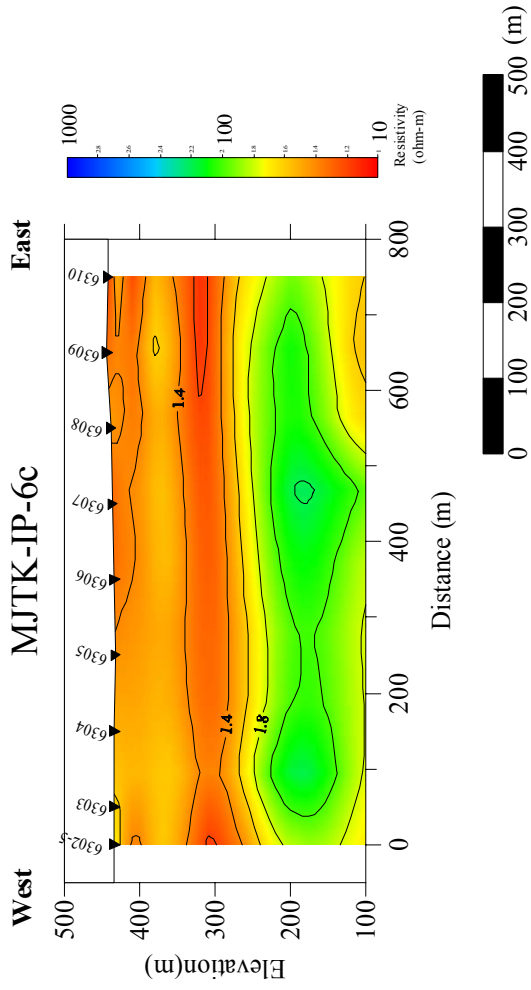


Fig. II-4-1-26 Resistivity structure cross section along the E-W direction line MJTK-IP-6c at MJTK-IP-6 area

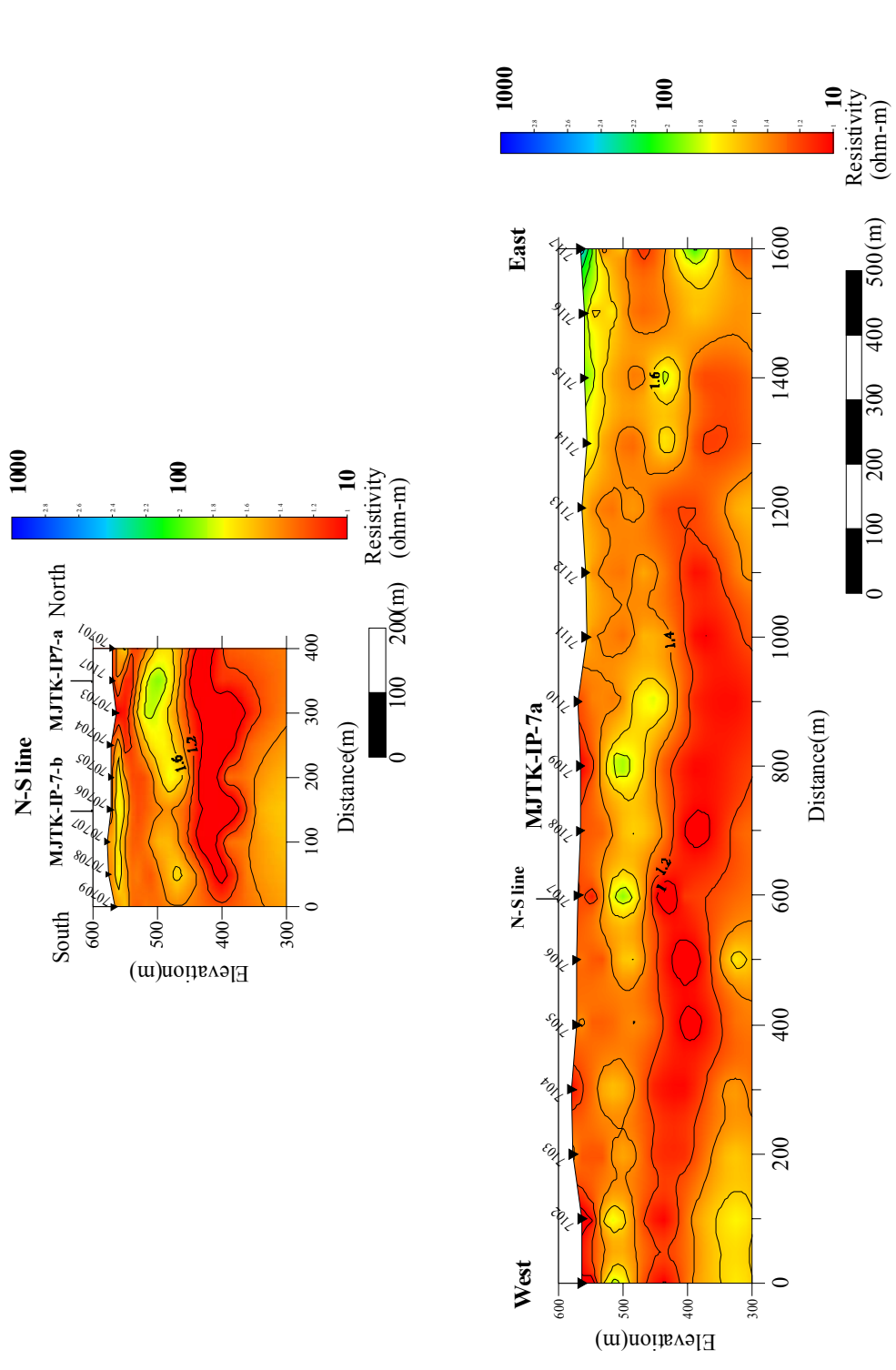


Fig. II -4-1-27 Resistivity structure cross sections at MJTK-IP-7 area
 Upper part is along the N-S direction line and lower part is along the E-W direction line MJTK-IP-7a. Each section is crossing at station 7107.

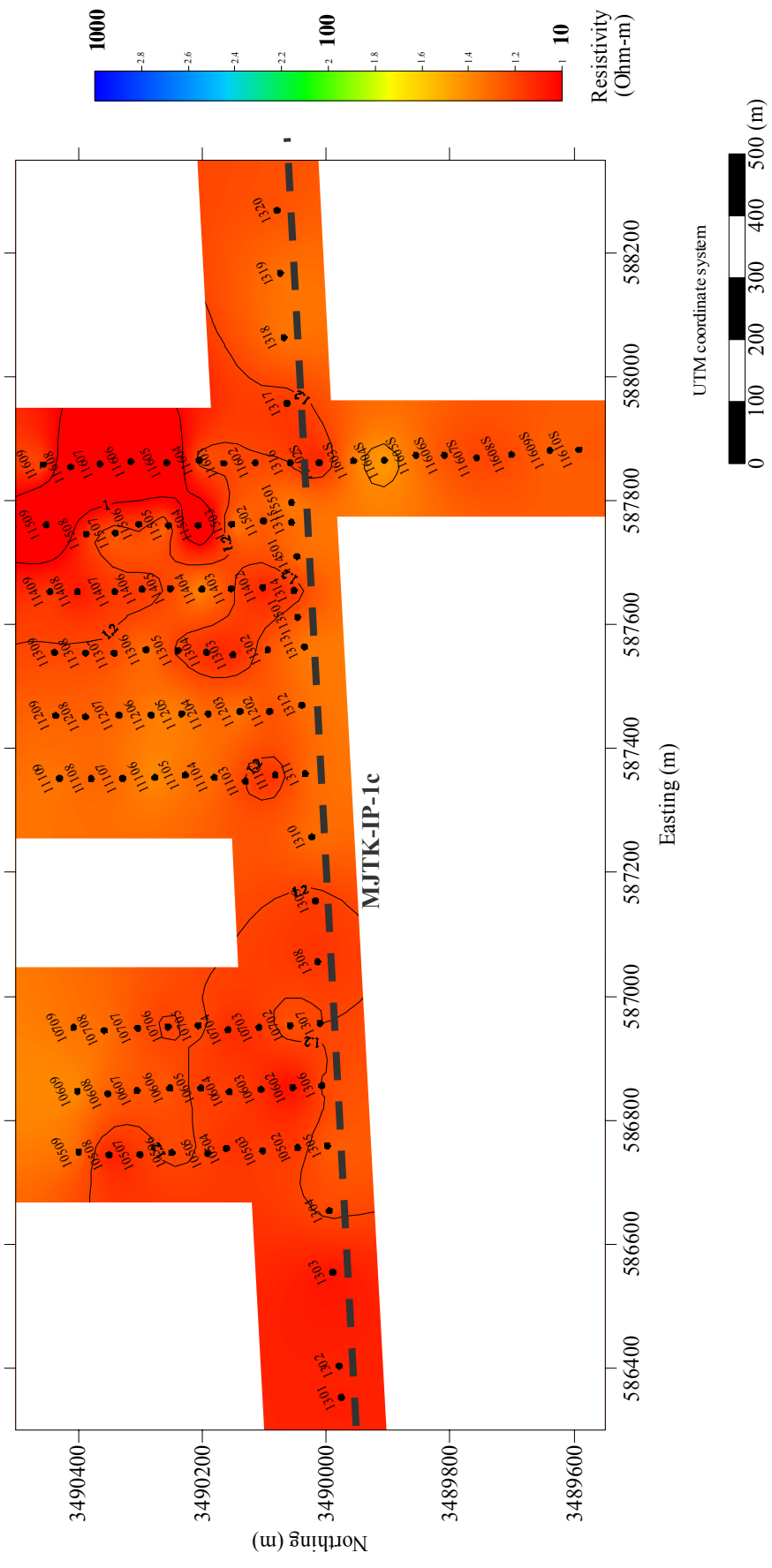


Fig. II -4-1-28 Resistivity distribution at level 500m

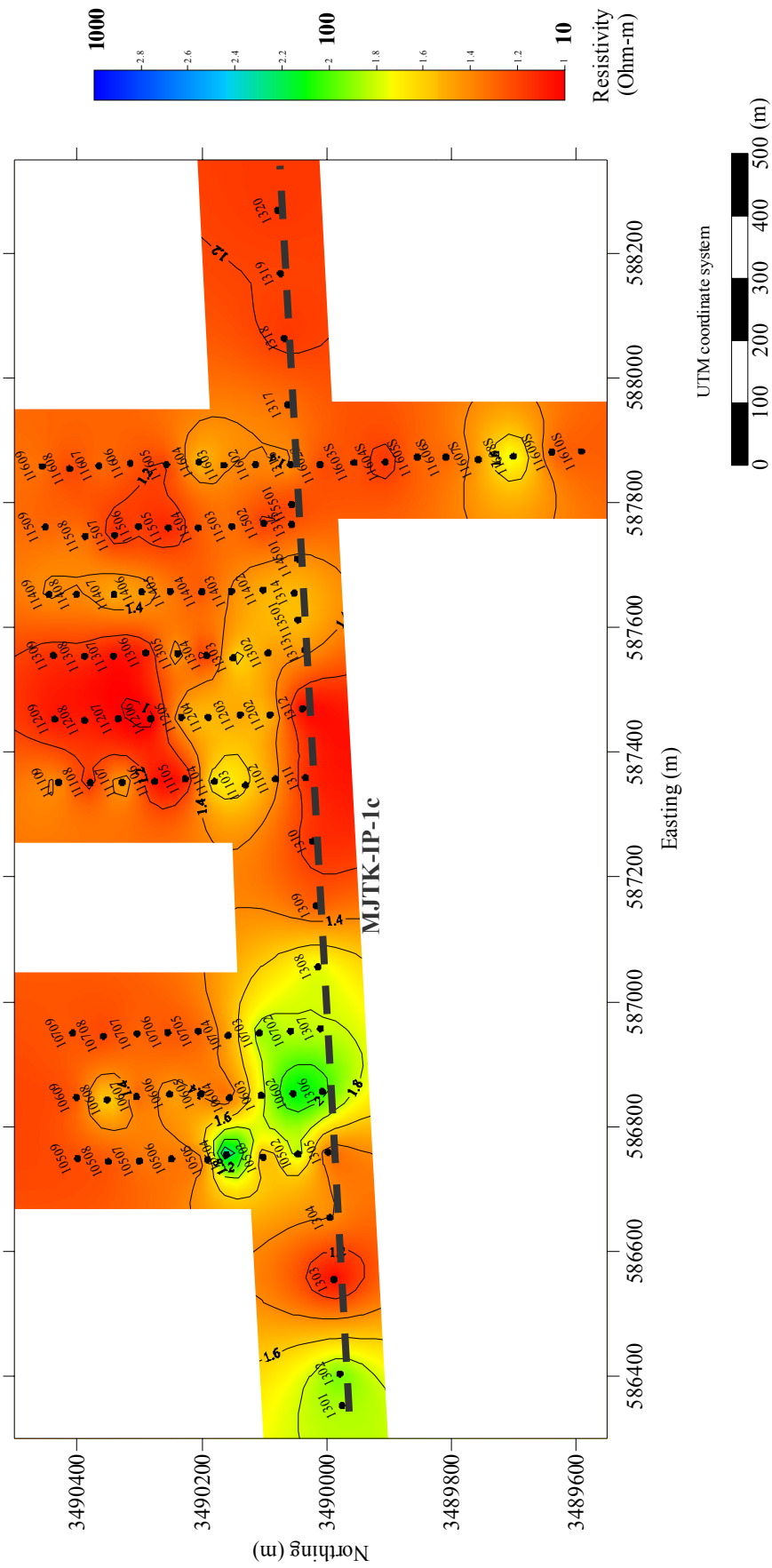


Fig. II -4-1-29 Resistivity distribution at level 450m

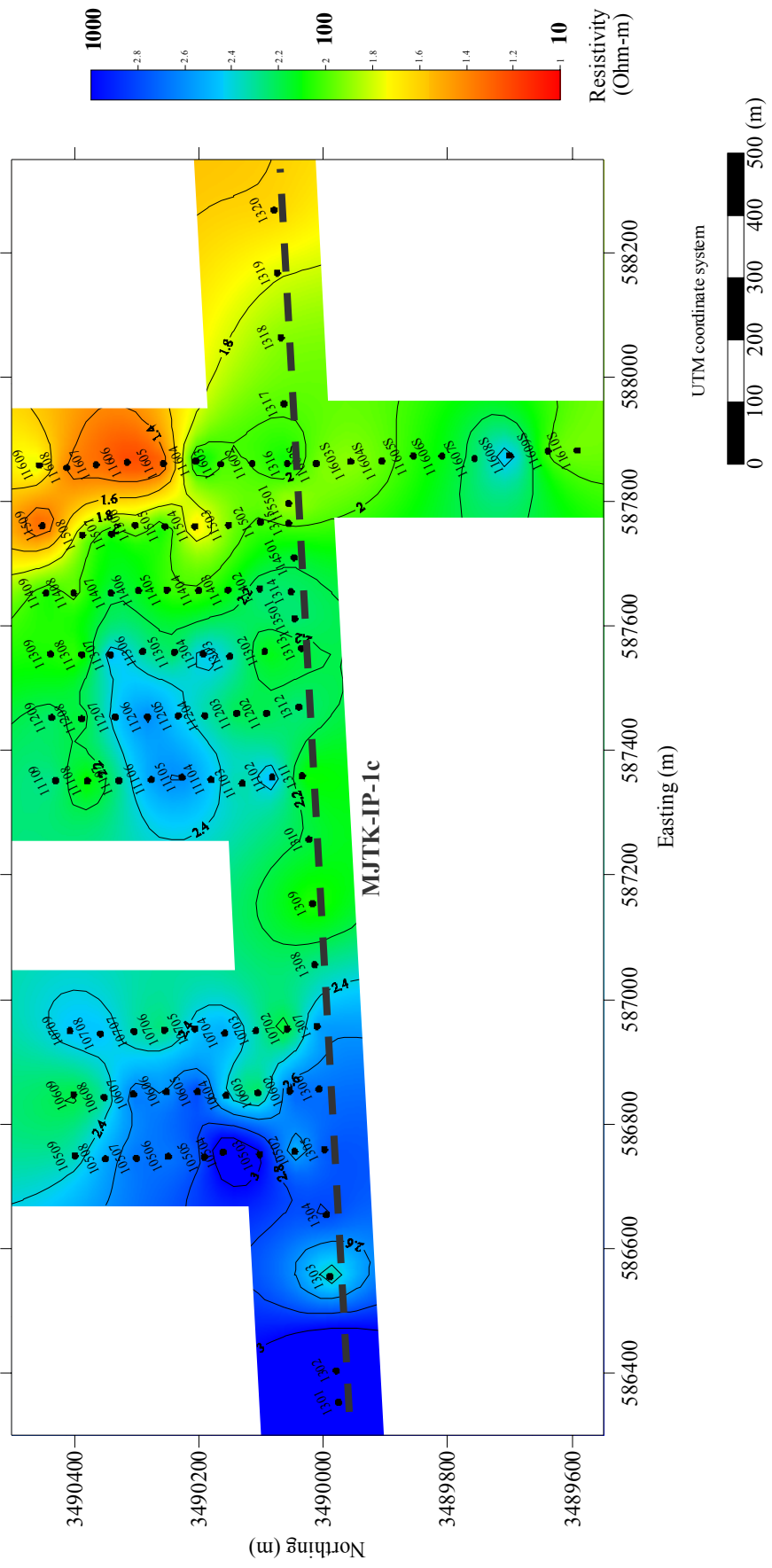


Fig. II-4-1-30 Resistivity distribution at level 400m

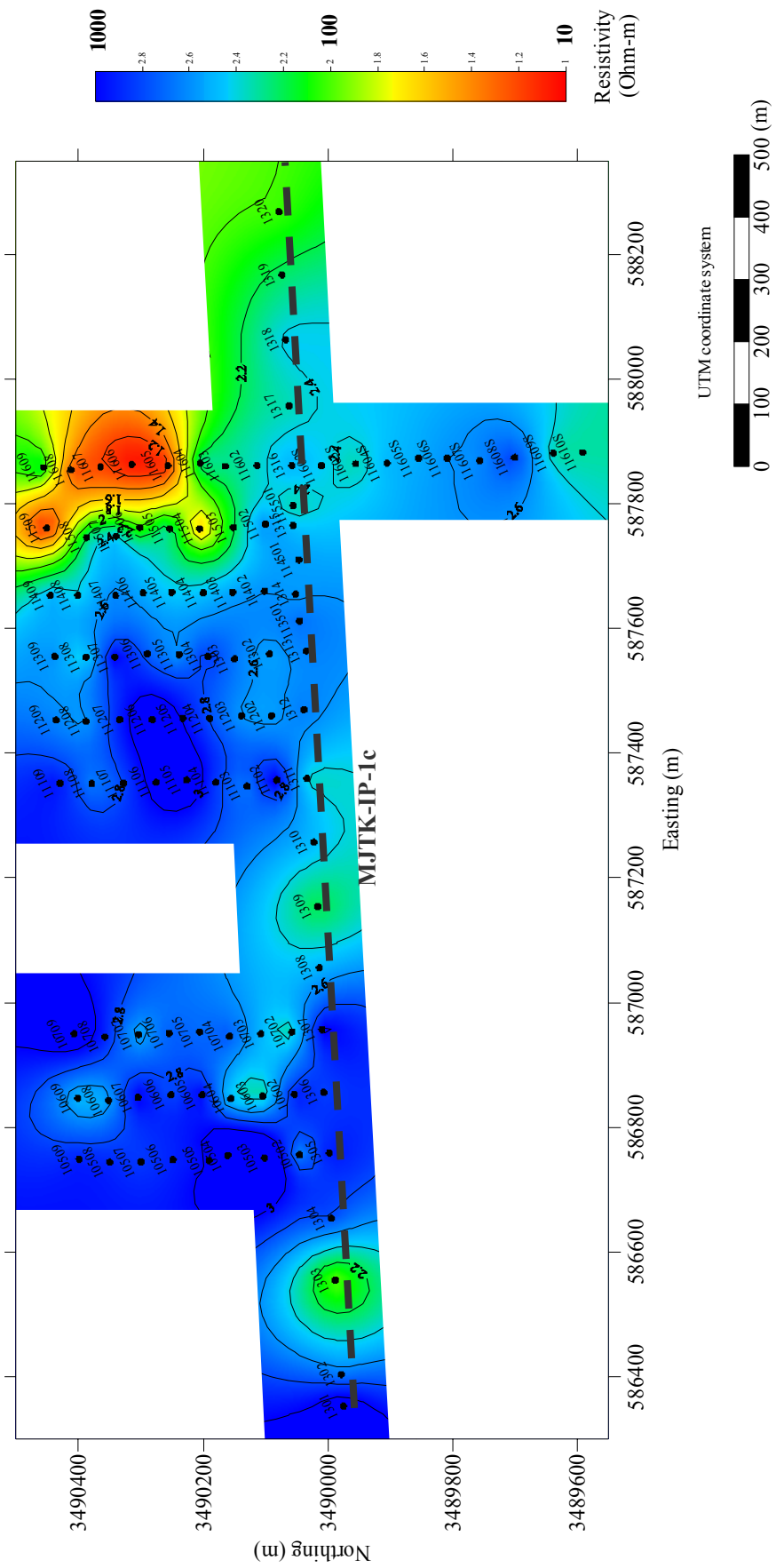


Fig. II -4-1-31 Resistivity distribution at level 350m

4-2 第3年次物理探査

電気探査IP法は、初年度の空中磁気・電磁探査で異常が検出されたマラケシュ市西方の6地区で実施された(Fig.II-4-2-1)。Azzouz地区で地形がやや険しいことにより、調査には予想以上の時間を要したが、良好なデータを得ることができた。その結果はFig.II-4-2-2～9に示すが、Azzouz地区北部で、鉱化作用を示徴する充電率と比抵抗の異常が分布することが明らかになった。この異常域は、先に実施された磁気探査の異常箇所とも重複する。

北部の3地区(Hbibbi,Harch,Maouch)ではIP法電気探査による異常は検出されなかった。地表の状況から判断して、2地区(Hbibbi,Harch)の空中磁気の異常は人工物によるものと考えられる。Maouch地区の磁気異常の原因は明確でないが、深部の地質に因ると推定される。

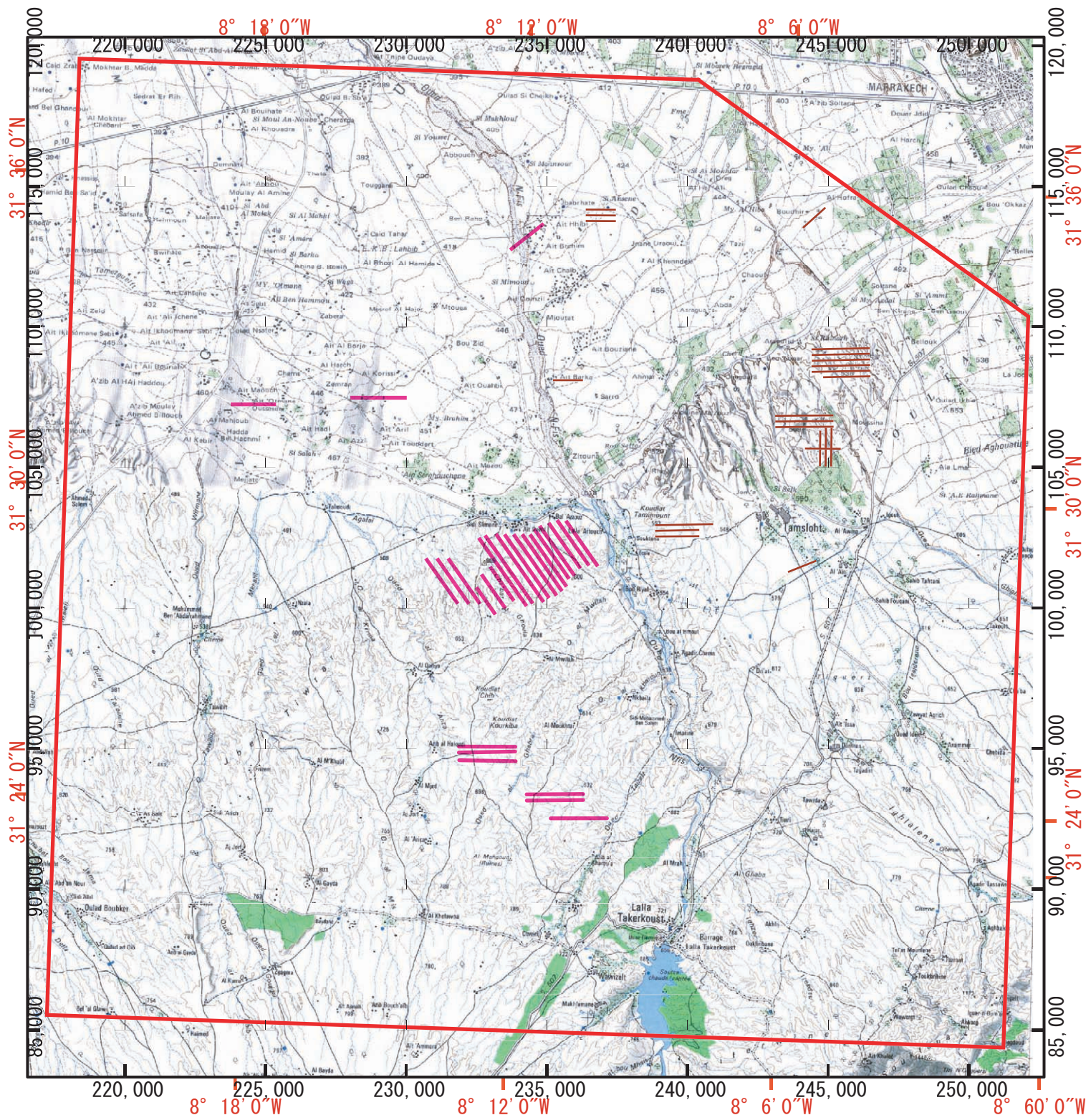
南部の2地区(Khefawna,Talzelt)では、比抵抗が低い新期堆積物が厚く覆っており、顕著なIP異常を捉えることはできなかったが、Khefawna地区の磁気異常は、北西方のKhwadra鉱徴地の磁気異常と形状が類似しており、堆積物の下に塊状硫化物鉱床が存在する可能性は残される。

TEM法電磁探査は、IP法電気探査の結果を受けて、Fig.II-4-2-10に示すように、Azzouz地区で重点的に行うとともにKhefauna地区でも実施した。その結果をFig.II-4-2-11～16に示す。Azzouz地区では、IP法電気探査と調和的な低比抵抗帯（高電導度域）の存在が窺われ、また、複数の断層の存在が推定された。Khefauna地区では、低比抵抗の新期堆積物と高比抵抗の古生界の単純な2層構造となっている。

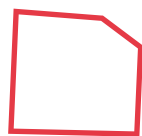
今後の調査としては、次の箇所でボーリング調査を実施して、物理探査異常が磁硫鉄鉱を多く含む硫化物濃集を反映するものかどうか確認する必要がある。

1)Azzouz 地区 掘進長 500～600m…… 2～3箇所程度

2) Khefauna 地区 掘進長 400m～550m…… 1箇所



Map Projection : Lambert Conformal Conic Datum
 Standard Parallel : 34.865833 Horizontal Datum Name : Merichich
 Standard Parallel : 31.725000 Ellipsoid Name : Clarke 1880 IGN
 Latitude of Projection Origin : 33.3 Semi-major Axis : 6378249.20000
 Longitude of Central Meridian : -5.4
 False Easting : 500.000
 False Northing : 300.000



MARRAKECH-TEKNA AREA



IP Survey Line (2003)



IP Survey Line (2004)

Fig.II-4-2-1 Location map of survey area